

○ 京都大学工学部 正 酒井哲郎, 京都大学大学院 学 山本寅人

1. まえがき 湾水振動の理論に関しては、これまでに多くの研究があるが、湾外の入射波は正弦波と仮定してよい。一方、津波の検潮記録を見ると、例えば図-1に示すように、多くの場合その振幅が時間的に減少していく。ここでは、入射波の振幅が指数関数的に減少する場合、湾奥における増幅率が正弦入射波の場合とどうなるかを、一様水深の長方形湾に関して、簡単な理論と数値シミュレーションによって検討する。

2. 西村・金井¹⁾ の理論 西村らは、一様水深長方形湾の湾外での水位変化を与えた場合の湾内の固有振動を与える式を一次元線型

長波のモデルを用いて求めた。さらに渡辺²⁾は、このモデルを過去の津波の実測値に適用し、この理論的有效性を示した。ただし、この理論では湾内から湾外に発散する波を考慮していない。

ここでは一応湾外での津波波形として、(1)式のような減衰振動型の波形を与えた。ここで α は振幅、 h は水深、 λ は波長であり、 α 、 h はそれぞれ無次元の周波数および減衰率に相当する量である。西村らの式を用いてこの場合の湾奥での固有振動の解を求めると、(2)式のようになる。(2)式から、 $\alpha = (S - \frac{1}{2})\pi$ 、 $S = 1, 2, \dots$ の場合には他の場合とくらべて振幅が極大になる。ここで $\alpha < S\pi/2$ に関して以下議論する。この場合、湾奥の水位の時間的变化の振幅は次第に大きくなり一定値に近づく。この一定値の峯高を f_m とし、一方 $f(t)$ の峯のうち最もとも水位の高い峯高を f_m として、 $A = f_m/(2f_m)$ で増幅率を定義すると、湾外での津波波形の減衰率と A との関係が図-2の曲線で与えられる。ただし α は $\exp(-\rho \frac{\sqrt{gh}}{l} t)$ として、 ρ と A の関係を示してある。なおここ

で T は波の周期で $T = \frac{2\pi}{\alpha} \sqrt{\frac{g}{h}}$ の関係がある。図を見て明らかなように、入射津波の波形の減衰率が大きいほど、湾奥での増幅率は小さくなる。なおこのモデルでは、 $\beta = 0$ すなわち正弦入射波の場合、 $\alpha = (S - \frac{1}{2})\pi$ 、 $S = 1, 2, \dots$ では(2)は無限大に発散するため、正弦入射波の場合との比較はできない。

3. 数値シミュレーション 上述の理論モデルでは、湾内から湾外に発散する波を考慮していない。そのため、ここでは図-3のようない様水深の外海に接続された長方形湾での湾水振動を、2次元の線型長波の式を差分化して数値シミュレーションを行なう。差分式など数値計算の詳細は、参考文献³⁾を参照されたい。初期条件としては、(3)

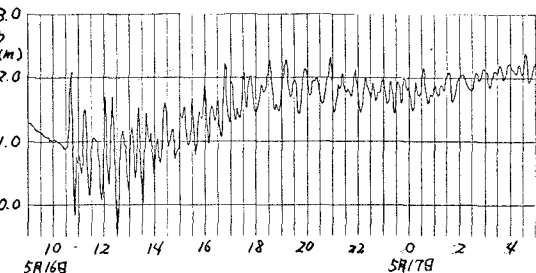


図-1 1968年十勝沖地震津波の大湊港検潮記録

$$f(t) = a \exp\left(-\rho \frac{\sqrt{gh}}{l} t\right) \sin\left(\frac{\sqrt{gh}}{l} t\right) \quad \dots (1)$$

$$\eta(t) = a \sum_{S=1}^{\infty} (-1)^{S+1} \left\{ \frac{(S-\frac{1}{2})\pi + \alpha}{((S-\frac{1}{2})\pi + \alpha)^2 + \beta^2} + \frac{(S-\frac{1}{2})\pi - \alpha}{((S-\frac{1}{2})\pi - \alpha)^2 + \beta^2} \right\} \exp\left(-\rho \frac{\sqrt{gh}}{l} t\right) \sin\left(\frac{\sqrt{gh}}{l} t\right) \quad \dots (2)$$

$$= \left\{ \frac{\rho}{((S-\frac{1}{2})\pi + \alpha)^2 + \beta^2} - \frac{\beta}{((S-\frac{1}{2})\pi - \alpha)^2 + \beta^2} \right\} \exp\left(-\rho \frac{\sqrt{gh}}{l} t\right) \cos\left(\frac{\sqrt{gh}}{l} t\right) \\ + \left\{ \frac{(S-\frac{1}{2})\pi + \alpha}{((S-\frac{1}{2})\pi + \alpha)^2 + \beta^2} - \frac{(S-\frac{1}{2})\pi - \alpha}{((S-\frac{1}{2})\pi - \alpha)^2 + \beta^2} \right\} \sin\left(\frac{\sqrt{gh}}{l} t\right) \\ + \left\{ \frac{\beta}{((S-\frac{1}{2})\pi + \alpha)^2 + \beta^2} - \frac{\beta}{((S-\frac{1}{2})\pi - \alpha)^2 + \beta^2} \right\} \cos\left(\frac{\sqrt{gh}}{l} t\right) \quad \dots (2)$$

$$+ \left\{ \frac{\beta}{((S-\frac{1}{2})\pi + \alpha)^2 + \beta^2} - \frac{\beta}{((S-\frac{1}{2})\pi - \alpha)^2 + \beta^2} \right\} \cos\left(\frac{\sqrt{gh}}{l} t\right) \quad \dots (2)$$

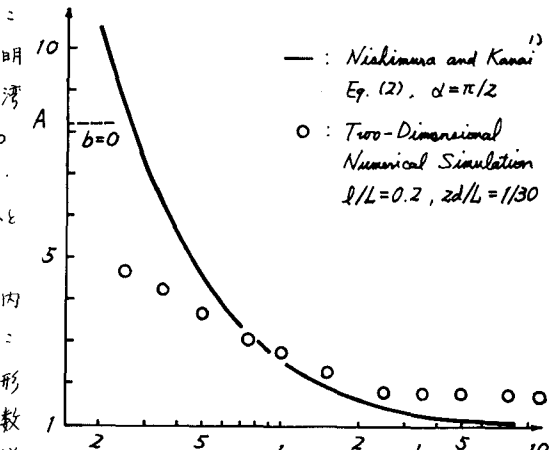


図-2 入射津波波形の減衰率と湾奥の増幅率の関係

式で与えられるようだ。指教回数的に振幅の減少する波の先端が湾口に到達した状態を示す。

$$\eta(x) = a \exp\left(-b \frac{7L-x}{L}\right) \sin\left(2\pi \frac{7L-x}{L}\right) : 0 \leq x \leq 7L \\ : 7L < x \leq 7.2L \quad (3)$$

$$= 0$$

図-4 は $a=1$,

$h = 20$, $b = 0.25$ の場合の湾外の初期波形を表す。湾幅 $2d/L = 1/30$ とした場合の基本モードの共振波長 ℓ/L は、Ippen-Goda⁴⁾によれば、 $\ell/L = 0.235$ であり、これを採用して $\ell/L = 0.2$ の値は、ほぼ基本モードの共振状態に対応しているものと考えられ、西村らのモデルの $\alpha = \pi/2$ にはほぼ対応するものと考えられる。とくに、湾奥での水位の時間的变化が図-5 の実線で示してある。図中破線は $b=0$ すなはち入射津波波形として正弦波を与えた場合の湾奥水位である。この場合正弦波の振幅は、図-4 の $b=0.25$ の場合の初期波形の第1の峯の高さに等しくとなる。図からわかるように、 $b=0$ 及 $b=0.25$ の場合の湾奥水位には明らかな相違が見られる。 $b=0$ の正弦波入力の場合、湾奥の水位は時間とともに振幅が増加し一定値に近づく。一方、 $b=0.25$ の減衰振動型の入力の場合、最初振幅が増加したのち減少していく。ここには示していないが、 b の値がさらに増加すると全体に振幅が減少するとともに、最大の峯が生じる時間がはやくなる。2. の場合と同様に增幅率を定義して、減衰率 b の変化による增幅率 A の変化を示したのが、図-2 の丸印である。図中には、正弦波の入力の場合の增幅率 0.25 も示してある。図から明らかなように、減衰率が増加すると增幅率が減少してあり、このような数値実験の傾向は、2. の西村らの理論によつて定性的に説明しうる。ただし、西村らのモデルによる增幅率の値そのものは数値実験結果と大きく異なり、 b の値が小さくなると西村らのモデルによる値は、正弦波入力の場合は增幅率より大きくなる。これは、西村らのモデルが湾内から湾外へ発散する波を考慮しておらず、基本的欠陥によるものと考えられる。

最後に、この研究を行なうに当つて御指導頂いた京都大学工学部岩垣雄一教授、また数値シミュレーションの計算機プログラムをよく提供して頂いた大阪市港湾局中村陽一氏（当時大学院学生）に感謝の意を表すとともに、本研究の一部が文部省科学研究費によつて支給記可。

参考文献 1) Niizumura, G. and K. Kanai, Bull. Earthq. Res. Inst., Suppl. 1, pp. 183~197, 1934, 2) Watanabe, H., Jour. Oceanographical Soc. Japan, 20th Anniversary Vol., pp. 330~345, 1962, 3) 宮垣・近井・中村, 昭和49年度土木学会関西支部年次学術講演概要, 1974, 4) Ippen, A.T. and T. Goda, Hydrodynamics Lab. Rep. No. 59, M.I.T., 1963.

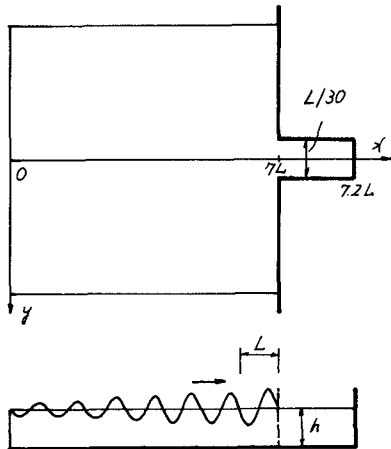


図-3 数値シミュレーションを行うための湾形

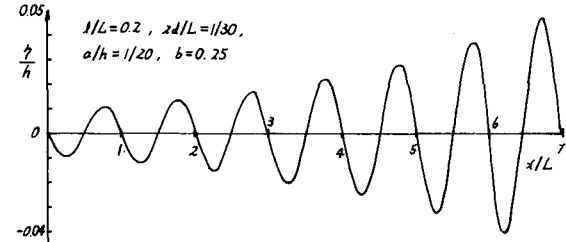


図-4 初期波形の例(数値シミュレーション, $a/h = 1/20$, $b = 0.25$)

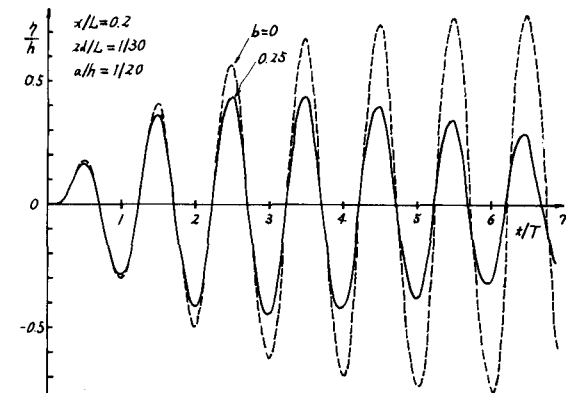


図-5 湾奥の水位変化の例(数値シミュレーション, $a/h = 1/20$, $b = 0.25$)